

УДК 621.002:681.324

Е.Л. Первухина, Т.Л. Степанченко, К.Н. Осипов

УПРОЩЕНИЕ СТОХАСТИЧЕСКИХ МОДЕЛЕЙ В ЗАДАЧАХ ОЦЕНКИ СОСТОЯНИЯ МАШИНОСТРОИТЕЛЬНЫХ ИЗДЕЛИЙ В ХОДЕ СТЕНДОВЫХ ИСПЫТАНИЙ

Аннотация: В статье предлагается метод описания динамических рядов измерений информативных диагностических параметров ДВС упрощенными стохастическими моделями. В качестве примера предлагается аппроксимация многомерной нестационарной модели моделью с независящими от времени коэффициентами.

Ключевые слова: диагностика, ДВС, моделирование

Главной задачей стендовых испытаний машиностроительных изделий является оценка их технического состояния для последующего принятия решений о годности к эксплуатации. Для достижения конкурентоспособности выпускаемых изделий важен компромисс между точностью и достоверностью оценки и принимаемых решений, и стоимостью процесса испытаний (суммарные затраты на испытания и контроль качества изделий могут достигать 25% их стоимости). Снизить стоимость испытаний можно на основе стохастических моделей, использующих измерительную информацию. Появившиеся в последнее время методы построения таких моделей [1,2], отражая вероятностные формулировки указанных задач, обеспечивают адекватное исследуемым объектам и процессам обобщение выборочной информации. Однако, как правило, модели не являются универсальными и ограничиваются классом объектов, для которых они созданы. Более того, из-за недостатка информации о параметрах испытуемых объектов, характеристиках вероятностных распределений полезных сигналов и шумов в системе испытаний, математические задачи оценки состояния и принятия решений являются слабо формализованными. К настоящему времени существует большое число методов решения слабо формализованных задач, однако, с целью сокращения сроков и расходов на стендовые испытания изделий в серийном производстве можно на этапе

формализации упростить исходные постановки задач для упрощения алгоритмов их решения.

Целью работы является описание динамических рядов измерений информативных диагностических параметров испытуемых изделий упрощенными моделями. В качестве примера предлагается аппроксимация многомерной нестационарной модели моделью с независящими от времени коэффициентами. Недостатки и преимущества подобного моделирования рассматриваются в приложении к решению задачи оценки состояния ДВС в ходе стендовых приемосдаточных и контрольных испытаний.

В работах [3,4] на примере двигателей внутреннего сгорания показано, что в предположении стабильности сборочного процесса сложные машиностроительные изделия на этапе стендовых испытаний могут быть описаны моделями векторной авторегрессии. В пространстве состояний эти модели могут быть представлены в виде [5]:

$$x_{t+1} = A_t x_t + w_t \quad (1)$$

$$y_t = x_t + v_t, \quad t = 1, 2, \dots, N \quad (2)$$

где $x_t - n \times 1$ – вектор состояний, $y_t - m \times 1$ – вектор наблюдений, в начальный момент времени вектор x_0 распределен нормально с нулевым средним и ковариацией Σ_0 , w_t и v_t – взаимно некоррелированные «белошумные» последовательности с нулевым средним и ковариациями Q_t и R_t , соответственно. $Y^T = (y_1, \dots, y_T)$ – множество наблюдений за системой.

Заменим модель (1), (2) системой уравнений с постоянными коэффициентами, используя известный подход [6]:

$$x_{t+1} = Ax_t + w_t \quad (3)$$

$$\hat{y}_t = x_t + v_t, \quad t = 1, 2, \dots, N \quad (4)$$

Размерность векторов системы (3) и (4) оставим без изменений. \hat{y}_t обозначает новый вектор наблюдений за системой (3), (4). Введем в рассмотрение ковариационные матрицы, учитывая, что вектор наблюдений для обеих систем имеет нулевое математическое ожидание, это следует из уравнений (2) и (4):

$$T \cong E(y y^T) \text{ и } \hat{T} \cong E(\hat{y} \hat{y}^T),$$

или

$$T = A_{t-1} \Sigma_{t-1} A_{t-1}^T + Q_{t-1}, \quad \hat{T} = A \Sigma_{t-1} A^T + Q_{t-1}. \quad (5)$$

Поскольку задача исследования сводится к определению матрицы A для системы, генерирующей последовательность наблюдений с вероятностными характеристиками, как можно лучше аппроксимирующими вероятностные характеристики исходного вектора y , введено в рассмотрение информационное расхождение Кульбака [7], имеющее смысл меры «близости» двух вероятностных распределений.

Для вероятностных распределений с плотностями $g(y)$ и $f(y)$ информационное расхождение есть

$$J(g, f) = \int [g(y) - f(y)] \log \frac{g(y)}{f(y)} dy \quad (6)$$

Оптимальной аппроксимирующей моделью (3), (4) для системы (1), (2) по критерию информационного расхождения Кульбака считается система, генерирующая вектор наблюдения \hat{y} , параметры вероятностного распределения которого наиболее близки к параметрам распределения исходного вектора y .

Поскольку векторы y и \hat{y} имеют нормальное распределение с нулевым математическим ожиданием, то информационное расхождение между параметрами их вероятностных распределений в каждый момент времени будет определяться выражением [7]:

$$J_t = J(g, f) = \frac{1}{2} \text{tr} \left\{ [\hat{T}_t - T_t] \cdot [\hat{T}_t^{-1} - T_t^{-1}] \right\}, \quad (7)$$

обусловленным различием ковариационных матриц T_t и \hat{T}_t . Здесь tr – обозначение следа матрицы $\{\bullet\}$.

Рассмотрим информационное расхождение Кульбака (8) как функционал от матричного аргумента A , отображающий матричное пространство $R_{n \times n}$ в R_1 . Для определения A , сообщающего (7) минимальное значение, используем метод наискорейшего спуска [9]. При начальной оценке $A^{(0)}$ матрицы A ,

$$A^{(i+1)} = A^{(i)} - \gamma^{(i)} \frac{\partial J_t}{\partial A} \Big|_{A = A(i)}, \quad i = 0, 1, 2, 3, \dots \quad (8)$$

Градиентный член $\partial J_t / \partial A$ выражения (8) есть производная матричного функционала (8) по матричному аргументу A . Он может быть определен в соответствии с правилами матричного дифференцирования [9]:

$$\frac{\partial J_t}{\partial A} = \left[\left(T_t^{-1} - \hat{T}_t^{-1} T \hat{T}_t^{-1} \right) A \Sigma_{t-1} \right] \downarrow, \quad (9)$$

вектор $[\bullet] \downarrow$ есть результат построчного вытягивания матрицы $[\bullet]$ в столбец.

Таким образом, при заданных начальных оценках матриц \hat{T} и A и коэффициенте γ алгоритм фильтрации, минимизирующий информационное расхождение между параметрами распределения вектора наблюдений и искомого «нового» вектора, определяется выражениями (8) и (9). На каждом шаге вычислений значение матрицы A пересчитывается, определяется соответствующая ковариационная матрица вектора y , а также проверяется значение информационного расхождения между параметрами распределений векторов y и \hat{y} .

Методами функционального анализа проверена выпуклость функционала J_t . Поскольку минимизируемый функционал является выпуклым и ограниченным снизу [8], то последовательность, определяемая выражением (8), является минимизирующей. При этом оценка скорости сходимости последовательности $J_t(A^{(i)})$ может быть дана в случае, если производная $\partial J_t / \partial A$ удовлетворяет условию Лифшица, т.е. существует такое число L , что для $\|J'(A) - J'(B)\| \leq L \|A - B\|$. Для прикладных задач сходимость алгоритма оценивается в ходе вычислительного эксперимента.

Рассмотрим предлагаемый алгоритм для упрощенного описания ДВС в ходе стендовых приемо-сдаточных испытаний по следующим диагностическим параметрам: часовому расходу топлива Gt , кг/ч; крутящему моменту Mk , Нм; коэффициенту наполнения топлива воздухом α , удельному расходу топлива ge , г/кВтч; коэффициенту наполнения камеры сгорания свежим зарядом η_v . Обработка экспериментальной информации привела к описанию исследуемого объекта в виде уравнения состояния

$$x_t = A_0 + Ax_{t-1} + \varepsilon_t, \quad (10)$$

и уравнения наблюдения

$$y_t = B \cdot x_t \quad (11)$$

где вектор x_t включает первые разности, или приращения, перечисленных параметров, т.е., $x_{k,t} = \Delta X_{k,t} = X_{k,t} - X_{k,t-1}$ (Δ – разностный оператор):

$$x_t = [D_alfa_t \ D_ge_t \ D_Gt_t \ D_hv_t \ D_Mk_t]^T.$$

Вектор-столбец постоянных членов A_0 и переходная матрица A_t системы в уравнении имеют различные значения для разного числа наблюдений.

Для замены последовательности матриц A_t постоянной матрицей A использован алгоритм (8), (9). Значение шага принято постоянным и соответствует порядку наименьших чисел матрицы A . Для ковариационной матрицы наблюдений использована выборочная оценка

$$T_t = \text{cov}(y_t) = \frac{1}{n} \sum_{t=1}^n [(y_t - \bar{y}_t)(y_t - \bar{y}_t)^T].$$

При числе наблюдений 30 значение матрицы A устанавливается. Собственные числа новой матрицы близки к собственным числам исходной матрицы. Для дальнейшего описания вместо системы (10), (11) используется система

$$\begin{aligned} x_t &= A_0 + Ax_{t-1} + \varepsilon_t, \\ y_t &= B \cdot x_t. \end{aligned} \tag{12}$$

с матрицей

$$A = \begin{bmatrix} -0.485 & 0.00158 & 0.00224 & -0.048 & 0.0102 \\ 362 & -0.0895 & 0.428 & -35.8 & -0.795 \\ -13.2 & 0.111 & 0.02 & 45.2 & -0.0415 \\ -0.199 & -0.00133 & -0.000764 & 0.00298 & -0.0124 \\ -321 & -0.412 & 0.275 & -31.6 & -0.107 \end{bmatrix}, \quad \text{имеющей собственные}$$

числа $\lambda = [0.876 \ 0.550 \ 0.412 \ 0.401 \ 0.401]^T$ меньше 1, что свидетельствует об устойчивости системы.

Алгоритм (8), (9) реализован на базе программного обеспечения Maple V в среде WINDOWS, новое значение матрицы A использовано для прогноза значений параметров Gt , Mk , α , ge , η_v . Результат оценивания и прогнозирования значений всех наблюдаемых параметров представлен на графике рис. 1.

График последовательностей ошибок оценивания изображен на рис. 2.

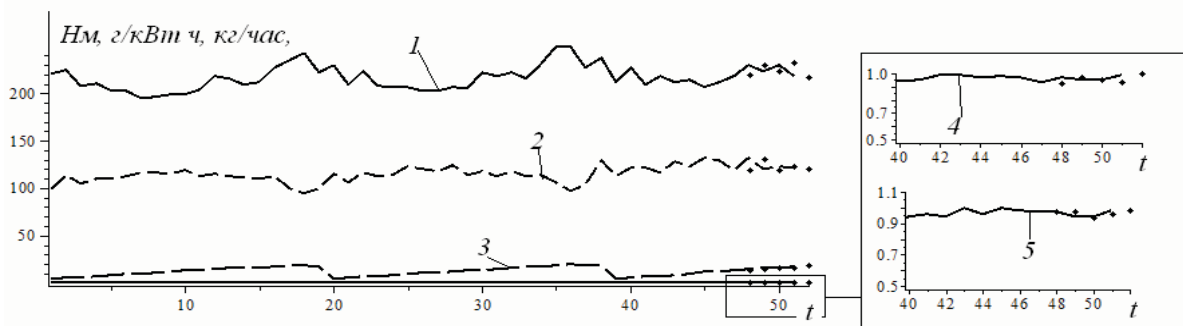


Рисунок 1 – Результат прогнозирования значений исследуемых параметров ДВС с использованием алгоритма: 1 – ge , 2 – Mk , 3 – Gt , 4 – hv , 5 – α

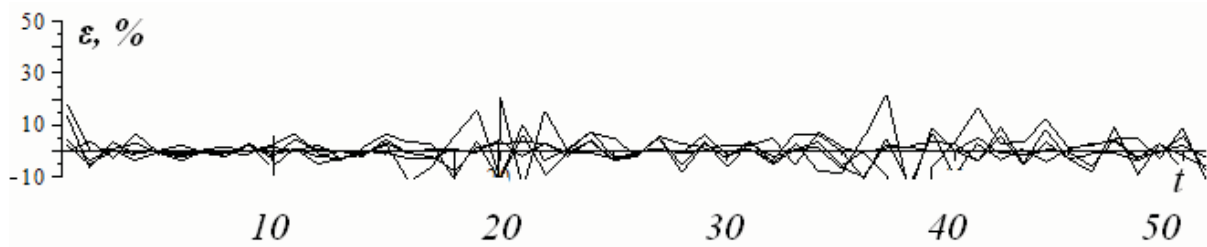


Рисунок 2 – График ошибок оценивания ($\varepsilon_t = \frac{x_t - \hat{x}_t}{x_t} \cdot 100\%$) параметров

Таким образом, зависящая от времени матрица A_t может быть заменена постоянной матрицей A . При этом ошибки прогноза информативных диагностических параметров испытуемых ДВС не увеличиваются.

Аналогично может быть понижен порядок модели и уменьшено множество измеряемых диагностических параметров.

Предложенный подход проще и дешевле, чем попытки построить аналитическую модель объекта и исследовать зависимости между его многочисленными параметрами. Для сложных изделий машиностроения со сложными физическими процессами различной природы с большим количеством параметров, связей между ними и случайных факторов, предложенный подход позволяет получить прогнозные значения параметров и, следовательно, оценить состояние испытуемых изделий без увеличения значений ошибок оценивания.

ЛИТЕРАТУРА

1. Загрутдинов Г.М. Статистические методы повышения точности измерений в системах автоматизированного контроля и испытаний ГТД / Г.М. Загрутдинов. – Казань: Изд-во Казанск. ун-та, 2002. – 200 с.
2. Рыбалко В.В. Параметрическое диагностирование энергетических объектов на основе факторного анализа в среде Statistica / В.В. Рыбалко // Exponenta Pro, 2004. – С. 78 – 83.

3. Первухина Е.Л. Организация процедуры принятия решений по результатам стендовых испытаний машиностроительных изделий / Е.Л. Первухина, Т.Л. Степанченко, В.В. Голикова // Статья. Системные технологии, 2007. – №5 (52). – С. 19-25.
4. Степанченко Т.Л. Организация оперативного анализа информации в системе поддержки принятия решений по результатам производственных испытаний машиностроительных изделий / Е.Л. Первухина, Т.Л. Степанченко, Голикова В.В. // Известия МГТУ «МАМИ», № 1, (7), 2009. – с.138-144.
5. Koopman S.J. Time Series Analysis by State Space Methods / S.J. Koopman, J. Durbin. – Oxford: Oxford University Press, 2001. – 254 p.
6. Baram Y. Stochastic model simplification / Y. Baram, Y. Beeri // IEEE Transactions on Automatic Control, 1981. – 26(2). – P. 379-390.
7. Кульбак С. Теория информации и статистика / С. Кульбак. – М.: Наука, 1967. – 408 с.
8. Канторович Л.В. Функциональный анализ // Л.В. Канторович, Г.П. Акилов. – М.: Наука, 1984. – 752 с.
9. Magnus J.R. Matrix Differential Calculus with Applications in Statistics and Econometrics / J.R. Magnus, H. Neudecker. – New York: John Wiley, 2007. – 450 pp.